

Спиновая дискиназия в слоистом антиферромагнетике с винтовой дислокацией

Б. А. Иванов¹⁾, В. Е. Киреев

Институт магнетизма НАН Украины, 03142 Киев, Украина

Поступила в редакцию 12 января 2001 г.

В слоистых антиферромагнетиках с ферромагнитным обменным взаимодействием спинов в атомных плоскостях и антиферромагнитным взаимодействием между плоскостями винтовая дислокация, перпендикулярная слоям, приводит к появлению несинггулярных дискиназий с ферромагнитным ядром.

PACS: 61.72.-y, 75.25.+z

Спиновое упорядочение в антиферромагнетиках (АФМ) описывается в рамках картины конечного числа магнитных подрешеток, каждая из которых упорядочена ферромагнитно, при том, что суммарный магнитный момент АФМ в обменном приближении равен нулю. АФМ упорядочение чувствительно к дефектам кристаллической решетки, которые разрушают подрешеточную структуру, характерную для идеального АФМ. При этом дефекты решетки могут приводить к появлению неоднородного распределения спинов, см. [1, 2].

Исторически первый пример подобных неоднородностей был предложен Дзялошинским [3] и Ковалевым, Косевичем [4], которые отметили, что наличие краевой дислокации в АФМ производит “сбой” в подрешетках и приводит к появлению макроскопических магнитных дефектов – доменных стенок и дискиназий. Подобные эффекты возникают при наличии атомной ступеньки на поверхности раздела АФМ и ферромагнетика (ФМ), см. [5, 6] и ссылки там. Общим свойством всех этих неоднородностей является появление АФМ дискиназий, которые могут рассматриваться как антиферромагнитный вихрь с полузеленым значением топологического заряда – завихренности, см. [1, 2]. Анализ дискиназий в свете повышения интереса к двумерным магнитным солитонам и особенно вихрям представляет самостоятельный интерес, см. [7–10].

Во всех упомянутых выше работах рассматривалась краевая дислокация в АФМ с шахматным порядком. Наличие скачка АФМ вектора 1 на некоторой поверхности, которая опирается на линию дислокации и простирается до поверхности кристалла, есть общее свойство всех дискиназий в АФМ с дислокацией в решетке. Однако конкретное распределение спиновой плотности для различных типов АФМ

может сильно отличаться от того, что характерно для описанной выше АФМ дискиназии. Чтобы продемонстрировать это, рассмотрим спиновую неоднородность, которая возникает в слоистых АФМ типа CoCl_2 , FeCl_2 , NiCl_2 с винтовой дислокацией, перпендикулярной слоям. В указанных АФМ обменное взаимодействие спинов в плоскостях ферромагнитно (обменный интеграл J), а соседние плоскости связаны АФМ взаимодействием с обменным интегралом J' , обычно более слабым. Характерное значение $J/J' \approx 10 \div 100$ и достигает $10^4 \div 10^6$ для интеркалированных систем [11]. Как мы покажем, малость величины J'/J приводит к существованию несинггулярных дискиназий, которые могут быть последовательно описаны в рамках континуальной теории.

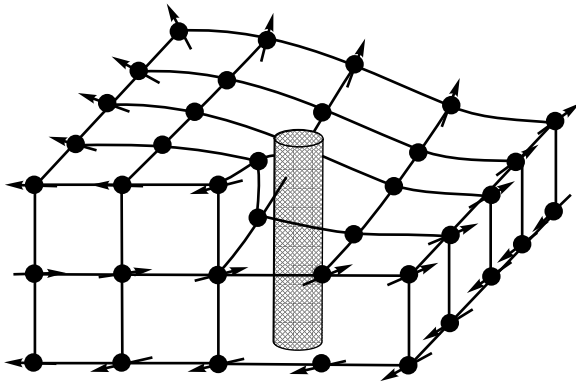
Гамильтониан идеального магнетика указанного выше типа может быть представлен в виде

$$\mathcal{H} = \sum_{n=1}^{N_z} \sum_{\mathbf{r}, \delta} [-JS_{n,\mathbf{r}}S_{n,\mathbf{r}+\delta} + J'S_{n,\mathbf{r}}S_{n+1,\mathbf{r}+\delta} + K(S_{n,\mathbf{r}}^z)^2], \quad (1)$$

где n нумерует слои с ФМ взаимодействием (обменный интеграл J), \mathbf{r} определяет узлы в одном слое, δ – векторы ближайших соседей, направленные к данному узлу внутри слоя, $J' \ll J$ – обменный интеграл между слоями, $N_z = L_z/a_z$ – число атомных плоскостей. Мы учли также легкоплоскостную анизотропию с константой K .

В гамильтониане (1) суммирование проводится по спинам внутри каждого слоя и затем по отдельным слоям. При введении в кристалл винтовой дислокации в любой области кристалла, которая не содержит линии дислокации, можно ввести такую же классификацию, но глобально система атомных плоскостей превращается в винтовую поверхность, см. подробнее [12] и рисунок. Удобно параметризовать эту по-

¹⁾e-mail: bivanov@i.com.ua



Винтовая дислокация в магнетике (область ядра дислокации условно обозначена цилиндром) и распределение спинов (стрелки) на спиральной линии, охватывающей линию дислокации

верхность координатами r , χ , где величина χ меняется непрерывно от 0 до $2\pi N_z$. С использованием этих координат можно легко перейти к континуальному пределу для спиновой плотности $\mathbf{S} = S\mathbf{m}$, $\mathbf{m}^2 = 1$. Используем длинноволновое приближение для спинов, находящихся локально в той же плоскости (заменив, например, $\mathbf{S}(\mathbf{r} + a\mathbf{e}_x) + \mathbf{S}(\mathbf{r} - a\mathbf{e}_x)$ на $2\mathbf{S}(\mathbf{r}) + a^2 \partial^2 \mathbf{S} / \partial x^2$ и т.д.), и сохраним дискретное описание для соседних плоскостей. Тогда для макроскопической энергии магнетика можно получить формулу

$$\mathcal{W} = JS^2 \int_0^R r dr \int_0^{2\pi L_z/a_z} d\chi \left\{ \frac{1}{2} (\nabla \mathbf{m})^2 + \right. \\ \left. + \frac{j}{a^2} \mathbf{m}(r, \chi) [\mathbf{m}(r, \chi + 2\pi) + \right. \\ \left. + \mathbf{m}(r, \chi - 2\pi)] + \frac{K}{Ja^2} m_z^2(r, \chi) \right\}. \quad (2)$$

Здесь градиент берется только в данной плоскости, $j = J'/J$, значения $\mathbf{m}(r, \chi)$ и $\mathbf{m}(r, \chi + \pi)$ соответствуют спинам, расположенным в соседних плоскостях, ось z перпендикулярна слоям. Для простоты мы считаем, что образец имеет цилиндрическую форму и радиус R .

Начнем с анализа простого случая XY -модели, когда легкоплоскостная анизотропия предельно сильная, все спины лежат в плоскости xy , то есть $m_z = 0$, $m_x = \cos \phi$, $m_y = \sin \phi$. В случае XY -модели задача может быть проанализирована точно. В частности, можно продемонстрировать наличие фазового перехода второго рода однородное состояние – спиновая дисклинация. Затем мы покажем, что при конечной анизотропии и возможности выхода спинов из плос-

кости XY может возникать несингулярная дисклинация с ферромагнитным ядром.

Для XY -модели энергия (2) принимает вид

$$\mathcal{W} = JS^2 \int_0^R r dr \int_0^{2\pi L_z/a_z} d\chi \left\{ \frac{1}{2} (\nabla \phi)^2 + \right. \\ \left. + \frac{j}{a^2} [\cos [\phi(\chi) - \phi(\chi + 2\pi)] + \right. \\ \left. + \cos [\phi(\chi) - \phi(\chi - 2\pi)] + 2] \right\}. \quad (3)$$

Экстремали функционала (3) определяются уравнением

$$\nabla^2 \phi + \frac{j}{2a^2} \sin [\phi(\chi) - \phi(\chi + 2\pi)] + \\ + \frac{j}{2a^2} \sin [\phi(\chi) - \phi(\chi - 2\pi)] = 0. \quad (4)$$

Легко убедиться, что однородное вращение типа

$$\phi = \frac{\alpha \chi}{2} + \phi_0 \quad (5)$$

отвечает точному решению этого уравнения. Отметим, что величина α , в отличие от случая вихря или обычной дисклинации, где α – целое или полуцелое число, соответственно может принимать произвольные значения. Такое поведение α определяется свойствами римановой поверхности, на которой задается переменная ϕ , а именно тем, что не нужно вводить условия непрерывности для $\cos \phi$ и $\sin \phi$ при повороте χ на 2π .

Подставляя решение (5) в выражение (3) и учитывая, что в силу (5) $(\nabla \phi)^2 = \alpha^2 / 4r^2$, получим энергию магнетика как функцию параметра решения α , величины J'/J и размеров системы:

$$\mathcal{W} = \pi JS^2 \frac{L_z}{a} \left[\frac{\alpha^2}{4} \ln \left(\frac{R}{r_0} \right) + \frac{jR^2}{a^2} (1 + \cos \pi \alpha) \right], \quad (6)$$

где r_0 – радиус обрезания порядка постоянной решетки в слое.

Условие минимума энергии $d\mathcal{W}/d\alpha$ дает, что возможны два типа состояний магнетика: однородное с $\alpha = 0$, и неоднородные, которым отвечают значения α , являющиеся решениями трансцендентного уравнения

$$\frac{\sin \pi \alpha}{\pi \alpha} = \frac{\ln (R/r_0)}{2\pi^2 j(R/a)^2}. \quad (7)$$

Однородное (ферромагнитное) состояние невыгодно с точки зрения АФМ взаимодействия между слоями,

ему отвечает энергия магнетика $\mathcal{W}_{hom} = 2J'S^2V/v_0$, где $V = \pi R^2 L_z$ – объем магнетика, $v_0 = a^2 a_z$ – объем элементарной ячейки. Неоднородные решения существуют только для достаточно больших частиц, при $R > R_c$, где R_c определяется соотношением

$$2\pi^2 j \left(\frac{R_c}{a} \right)^2 = \ln \frac{R_c}{r_0}. \quad (8)$$

При малых значениях $j \ll 1$ величина R_c является макроскопической, $R_c \gg a$. Поэтому имеет смысл рассмотреть переход от неоднородного состояния, которое может существовать при $R > R_c$, к однородному, которое только и является возможным при $R \leq R_c$. Роль параметра порядка играет α , вблизи точки перехода $\alpha \propto \sqrt{(R - R_c)/R_c}$. Если же величина $R \gg R_c$, то правая часть уравнения (7) мала, величина α близка к единице, $\alpha = 1 - (R_c/R)^2$, и распределение спинов почти такое же, как и распределение вектора 1 в АФМ дисклинации, где $\phi = \chi/2 + \phi_0$, а энергия в (3) определяется формулой

$$E = \frac{\pi J L_z}{4a} \ln \left(\frac{R}{r_0} \right) \ll J N_{at} \ll \mathcal{W}_{hom}. \quad (9)$$

В этом случае в соседних слоях спины почти антипараллельны и можно перейти к описанию в терминах вектора антиферромагнетизма 1, который для слоистых АФМ определяется как разность спинов, расположенных “друг над другом”. Ясно, что такой вектор можно ввести локально для области, не содержащей линию дислокации. Вектор антиферромагнетизма 1, определенный таким образом, будет иметь разрыв на некой поверхности, которая опирается на линию дислокации и простирается до поверхности кристалла.

Учет реальной трехмерной природы спинов, актуальный при $K \ll J$ (при любом соотношении между K и J' при условии, что $J' \ll J$), приводит к существенно более сложным уравнениям, и мы ограничимся случаем больших R . Энергию (3) в данном случае удобно привести в обычных угловых переменных для единичного вектора спина $S_z = S \cos \theta$, $S_x = S \sin \theta \cos \phi$, $S_y = S \sin \theta \sin \phi$. В этой параметризации энергия принимает вид

$$\begin{aligned} \mathcal{W} = JS^2 \int_0^R dr \int_0^{2\pi L_z/a_z} d\chi \left\{ \frac{1}{2} [(\nabla \theta)^2 + (\nabla \phi)^2 \sin^2 \theta] + \right. \\ + \frac{1}{2\Delta_0^2} \cos^2 \theta + \frac{j}{a^2} [\cos \theta (\cos \theta_+ + \cos \theta_-) + \\ + \sin \theta \sin \theta_+ \cos (\phi - \phi_+) + \\ \left. + \sin \theta \sin \theta_- \cos (\phi - \phi_-)] \right\}. \end{aligned} \quad (10)$$

Здесь введены параметр Δ_0 с размерностью длины, $\Delta_0^2 = Ja^2/K$, и обозначения $\theta_{\pm} = \theta(r, \chi \pm 2\pi)$, $\phi_{\pm} = \phi(r, \chi \pm 2\pi)$. Легко убедиться, что система уравнений Эйлера – Лагранжа для функционала (10) имеет решение вида

$$\theta = \theta_0(r), \quad \phi = \frac{\alpha \chi}{2} + \phi_0. \quad (11)$$

При этом для функции θ получается обыкновенное дифференциальное уравнение такого же типа, как для вихрей в магнетиках, см. [1, 2],

$$\frac{d^2 \theta}{dr^2} + \frac{1}{r} \frac{d\theta}{dr} + \sin \theta \cos \theta \left(\frac{1}{\Delta_\alpha^2} - \frac{\alpha^2}{4r^2} \right) = 0, \quad (12)$$

с теми лишь различиями, что величина α теперь может быть произвольной, а не целой, и что характерная длина Δ_α зависит от параметра α ,

$$\Delta_\alpha^2 = \frac{Ja^2}{K + 2J' \sin^2(\pi\alpha/2)} < \Delta_0^2. \quad (13)$$

Естественные граничные условия для этого уравнения определяются отсутствием сингулярностей в центре ($\theta = 0$ или π при $r = 0$) и тем, что вдали от центра дисклинации спины ложатся в легкую плоскость xy , формируя такую же структуру, что была рассмотрена выше для дисклинации в XY -модели,

$$\cos \theta = p \text{ при } r \rightarrow 0, \quad p = \pm 1, \quad \theta \rightarrow \pi/2 \text{ при } r \rightarrow \infty. \quad (14)$$

Таким образом, в задаче возникает еще один дискретный параметр p , который играет ту же роль, что и поляризация для внеплоскостного вихря в легко-плоскостных ФМ, см. [2]. Состояние дисклинации вырождено не только по знаку α , но и по величине p .

Решение уравнения (12) с учетом (14) и асимптотики $\sin \theta \sim (r/\Delta_\alpha)^{\alpha/2}$ при $r \rightarrow 0$ легко построить численно. Для больших R величина $\alpha \simeq 1$ и энергия дисклинации

$$E = \frac{\pi JS^2}{4} \ln \left(\frac{R}{C\Delta} \right), \quad \Delta = a \sqrt{\frac{J}{K + 2J'}}. \quad (15)$$

Таким образом, эта дисклинация имеет характерную логарифмическую зависимость от размеров образца. Но, фактически, на этом сходство между дисклинацией в слоистом АФМ и рассмотренными ранее дисклинациями в АФМ с шахматной структурой заканчивается. Перечислим их различия.

Дисклинацию в слоистом АФМ уместно назвать ферромагнитной, так как в ядре упорядочение спинов ферромагнитно вдоль всей линии дисклинации и в каждом из локальных участков атомных плоскостей расположение спинов близко к ферромагнитному. Для магнитной частицы, состоящей из нечетного числа атомных плоскостей, суммарная намагниченность в базисной плоскости макроскопическая

и близка к $(1/2)2\mu_B S N_{at}$, где N_{at} – число атомов в плоскости.

При выполнении разумных условий $K \ll J$ и $J' \ll J$ ядро ФМ дискиннации не содержит сингулярностей, параметр обрезания в энергии является макроскопической величиной, $\Delta \gg a$.

Состояние ФМ дискиннации вырождено по двум дискретным числам, p и знаку α , а не по одному, как для сингулярной АФМ дискиннации. Это может проявляться в эффектах макроскопического квантового туннелирования для спиновых дискиннаций, см [13].

Мы благодарны В. Г. Барьяттару, А. С. Ковалеву и С. М. Рябченко за полезные обсуждения. Работа поддержана грантом INTAS # 97-31-311.

1. А. М. Косевич, Б. А. Иванов, А. С. Ковалев, *Нелинейные волны намагниченности. Динамические и топологические солитоны*, Киев: Наукова думка, 1983.
2. V. G. Bar'yakhtar and B. A. Ivanov, *Solitons and Thermodynamics of Low-Dimensional Magnets*, Sov. Sci. Rev. A Phys., Ed. I. M. Khalatnikov, **16**, 1–223 (1992).

3. И. Е. Дзялошинский, Письма в ЖЭТФ **25**, 110 (1977).
4. А. С. Ковалев, А. М. Косевич, ФНТ **3**, 259 (1977).
5. R. L. Stamps and R. E. Camley, Phys. Rev. **B54**, 15200 (1996); R. L. Stamps, R. E. Camley, and R. J. Hicken, Phys. Rev. **B54**, 4159 (1996).
6. О. К. Дудко, А. С. Ковалев, ФНТ **25**, 25 (1999).
7. А. С. Ковалев, ФНТ **20**, 1034 (1994).
8. Б. А. Иванов, В. Е. Киреев, В. П. Воронов, ФНТ **23**, 845 (1997).
9. О. К. Дудко, А. С. Ковалев, ФНТ **24**, 559 (1998).
10. О. К. Дудко, А. С. Ковалев, ФНТ **26**, 821 (2000).
11. D. C. Wiesler, H. Zabel, and S. M. Shapiro, Z Phys. **B93**, 277 (1994).
12. А. М. Косевич, *Дислокации в теории упругости*, Наукова Думка, Киев, 1978.
13. B. A. Ivanov and A. K. Kolezhuk, in: *Frontiers in Magnetism of Reduced Dimension Systems*, Eds. V. G. Bar'yakhtar, P. E. Wigen, and N. A. Lesnik, vol. **49** of NATO ASI Series 3, High Technology, Kluwer, Dordrecht, 1998.